



## BUG-0, 1, 2 ALGORİTMALARI VE PETRİ AĞI MODELLERİ

Alpaslan YUFKA<sup>1</sup>, Hanife APAYDIN ÖZKAN<sup>1</sup>, Aydın AYBAR<sup>1,\*</sup>

<sup>1</sup> Elektrik-Elektronik Mühendisliği, Mühendislik Fakültesi, Anadolu Üniversitesi, 26555, Eskişehir, Türkiye

### ÖZET

Bu çalışmada öncelikle, 2B bir ortam içerisinde bilinmeyen engellerin bulunduğu, gidilecek hedefin koordinatlarının bilindiği ve bu hedefin bir başlangıç noktasından ulaşılabilir olduğu bir konfigürasyon içerisinde güzergâh planlaması yapılmasına yönelik Lumelski ve Stepanov tarafından önerilen Bug-0, Bug-1 ve Bug-2 algoritmaları tanıtılmıştır. Sözü edilen algoritmaların işleyişinin gözlemlenmesi uygulanacakları sistemler üzerindeki etkilerinin anlaşılması ve yorumlanması açısından önemlidir. Bu çalışmada söz konusu algoritmaların modellenmesinde kesikli olay sistemlerinin modellenmesi ve analizinde sıklıkla kullanılan Petri Ağları ele alınmış ve algoritmaların işleyişi bu modeller üzerinden ele alınarak işleyişin izlenmesi ve öngörülmesinde büyük kolaylık sağlanmıştır.

**Anahtar Kelimeler:** Bug-0-1-2 Algoritmaları, Modelleme, Petri ağı

## BUG-0, 1, 2 ALGORITHMS AND PETRI NETS' MODELS

### ABSTRACT

In this work, Bug-0, Bug-1 and Bug-2 algorithms proposed by Lumelski and Stepanov for route planning in a 2B environment in a configuration with unknown obstacles, where the coordinates of the reachable target from the starting point are known, are introduced. Observation of the operation of these algorithms is important for understanding and interpreting their effects on the applied systems. In this study, Petri nets which are frequently used in modeling and analysis of discrete event systems in the modeling of such algorithms are also discussed and the functioning of the algorithms is handled through these models which provides major convenience to monitor and predict the operation.

**Keywords:** Bug-0-1-2 Algorithms, Modeling, Petri Net

## 1. GİRİŞ

Otonom gezgin robotlara yönelik en büyük zorluklardan bir tanesi hareket planlamasıdır [1]. Hareket planı içerisinde, otonom gezgin robota bir hedef verilir ve gezgin robotun bu hedefe ulaşabilmesi için üst seviyede bir planlama yapması beklenmektedir. Üst seviye planlama sonrasında gezgin robotun hareketine yönelik eyleyicilerine alt seviye bir hareket planı ve kontrolü oluşturulmaktadır [1]. Üst seviye planlama için önerilen en eski planlayıcılar BUG algoritmalarıdır [1-5]. BUG algoritmalarının birçok çeşidi olup bu çalışmada Lumelski ve Stepanov tarafından önerilen Bug-0, Bug-1, Bug-2 algoritmaları [1-4] tanıtılmıştır. Bu algoritmalar, 2 Boyutlu (2B) bir ortam içerisinde bilinmeyen engellerin bulunduğu, gidilecek hedefin koordinatlarının bilindiği ve bu hedefin bir başlangıç noktasından ulaşılabilir olduğu bir konfigürasyon içerisinde güzergâh planlaması için kullanılmaktadırlar. Sözü edilen algoritmaların işleyişinin gözlemlenmesi uygulanacakları sistemler üzerindeki etkilerinin anlaşılması ve yorumlanması açısından önemlidir. Petri Ağları kesikli olay sistemlerinin modellenmesinde ve analizinde kullanılan matematiksel ve grafiksel bir modelleme aracıdır [6-8]. Bu çalışmada ele alınan BUG algoritmalarının modellenmesi için de Petri Ağları kullanılmış ve algoritmaların işleyişi bu modeller üzerinden ele alınmıştır. Petri Ağları grafiksel ve matematiksel yönüyle algoritmaların işleyişinin izlenmesinde ve öngörülmesinde büyük kolaylık

\* Sorumlu Yazar: [aaybar@anadolu.edu.tr](mailto:aaybar@anadolu.edu.tr)

Geliş: 08.05.2018 Kabul: 14.06.2018

saęlamaktadır. Bu alıřmada Bug-1 algoritmasının daha nce nerilen Petri Aęı modelinin [8] geliřtirilmiř hali sunulmuř ve Bug-1'e ilaveten Bug-2 algoritmasının Petri Aęı modellenmesi verilmiřtir.

Bu makalede BUG ailesine ait Bug-0, Bug-1, Bug-2 algoritmaları Blm 2'de verilmiřtir. Blm 3'te ise algoritmaların modellenmesinde kullanılacak Petri Aęları tanıtılmaktadır. Blm 4'te Bug-1 ve Bug-2 algoritmalarının Petri Aęı modelleri tanıtılarak, algoritmaların gezgin robot zerinden iřleyiři bu modeller zerinden ele alınmıřtır.

## 2. BUG ALGORİTMALARI

Klasik gzergh planlama problemi, Piyano Tařıma Problemi (*Piano Mover's Problem*) ile ele alınmıřtır. Bu problemde, bilinen bir ortam ierisinde bilinen engeller arasından piyanonun bir bařlangı noktasından istenen hedef noktaya arpıřmasız bir řekilde tařınmasını saęlayacak gzerghın planlanması istenmiřtir [1]. Bu problemde ortam ve engeller bilinmemektedir. Ortam ierisinde bilinmeyen engeller olduęu zaman problem farklı bir noktaya tařınmaktadır. Bu noktada yeni problem, nnde, arkasında, iki yanında dokunsal algılayıcılara sahip bir kaplumbaęanın (kaplumbaęa bir otomat veya gezgin robot olarak dřnlebilir) labirentten kaması řekline dnřmřtir. John Pledge bu amala Pledge Algoritmasını (*Pledge Algorithm*) geliřtirmiřtir [4, 9]. Bu algoritmada, bařlangıta keyfi bir yn (kuzey, gney, doęu, batı) seilmektedir. Sonrasında engelle karřılařıncaya kadar seilen ynde ilerlenmektedir. Karřılařılan engel, otomatın saęında olacak řekilde manevra yapılır ve toplam dnř sıfır olunca kadar (otomatın bař ynnn tekrardan seilen ynde olması) engel saę tarafta olacak řekilde engelin sınırları takip edilir. Toplam dnř sıfır olunca tekrardan seilen ynde ilerlenmeye devam edilmektedir. Ancak, bu algoritma labirentin iinde veya dıřında yer alacak sabit bir noktayı bulmak iin kullanılamamaktadır. Otomat, labirentte kolaylıkla sonsuz bir dngye (tuzak) girebilmektedir [4, 9]. BUG algoritmaları, temelde sz edilen bu algoritmalar zerine kurulmuř ve bceklerden esinlenmiřtir. Bcekler (kalorifer bceęi, hamam bcekleri) sahip oldukları antenlerle evreyi dokunarak algılayabilmekte ve bir yere ulařabilmek iin nne ıkan engellerin evresinden dolanmaktadırlar. Lumelski ve Stepanov tarafından nerilen Bug-0, Bug-1 ve Bug-2 algoritmaları, algılayıcı tabanlı (dokunsal) en eski planlayıcılardır ve basitliklerinden dolayı bu algoritmalar dřk bir hafızaya ihtiya duymaktadırlar [1, 4].

Bug-0, Bug-1 ve Bug-2 algoritmaları gezgin bir robotun bilinmeyen 2B bir ortam ierisinde hedefine varması iin kullanılırlar [1-5]. Bu algoritmalar ortama ait sadece yerel bilgiyi ve sadece varmak istenen kresel bir hedef noktayı dikkate alırlar. Yerel bilgiyi ve varmak istenen hedef noktayı kullanan gezgin robot bilinmeyen 2B bir ortam ierisinde bir engel ile karřılařtıęında, engelin evresini dolařacak řekilde bir planlama yapmaktadır. BUG algoritmalarında ana ama, gezgin robotun engelin sınırlarını takip edecek řekilde arpıřmasız bir gzergh oluřturmasını ve gezgin robotun kresel hedef noktaya doęru ynelim gstermesini saęlamasıdır. Bunlara ilave olarak, BUG algoritmaları geleneksel olarak  temel varsayıma sahiptir: *i*) gezgin robot bir nokta olarak kabul edilir, *ii*) gezgin robot mkemmel bir konumlamaya sahiptir ve *iii*) gezgin robotun algılayıcıları kusursuzdur [1-5].

İzleyen alt bařlıklarda BUG ailesine ait Bug-0, Bug-1, Bug-2 algoritmaları [1-5] anlatılacaktır.

### 2.1. Bug-0 Algoritması

Bug-0 algoritması en ilkel planlayıcı olup herhangi bir hafıza ihtiyaı bulunmamaktadır. Gezin robot (MR), bařlangı noktası  $S_{MR} = (x_S, y_S)$ 'yi ve varılmak istenen hedef noktayı  $G_{MR} = (x_G, y_G)$ 'yi bilmektedir. Noktalara ait koordinatlar 2B Kartezyen Koordinat Sistemi'nde verilmektedir. Bug-0 algoritmasında [4]:

*Adım 1:* Ařağıdaki kořullar saęlanmadıkça, direkt olarak hedef noktası  $G_{MR}$ 'ye doęru ilerle.

*Adım 1.1:* Hedefe ulařıldı. Prosedürü durdur.

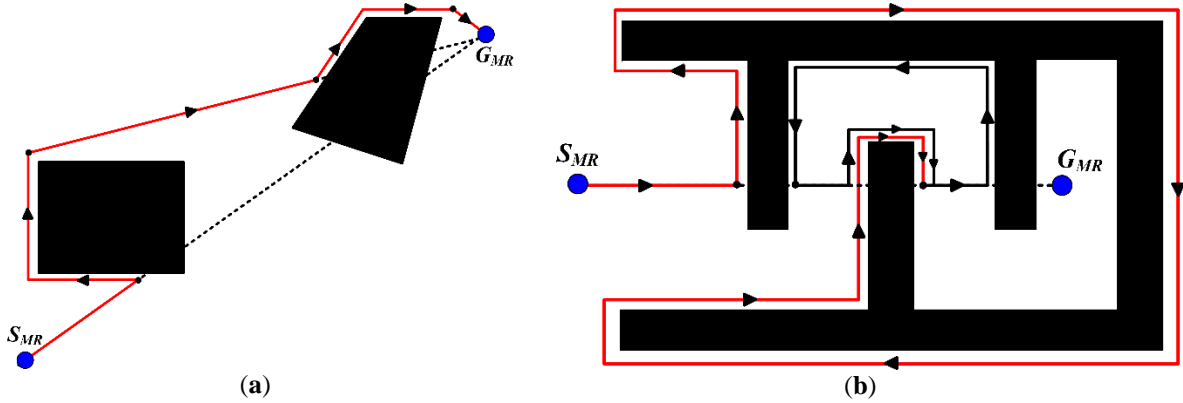
*Adım 1.2:* Engel ile karřılařıldı. *Adım 2*'ye ge.

*Adım 2:* Ařağıdaki kořullar saęlanmadıkça, kabul edilen yönde (saat yönünde/yönünün tersine (varsayılan)) engelin sınırlarını takip et (duvar takibi davranıřı).

*Adım 2.1:* Hedefe ulařıldı. Prosedürü durdur.

*Adım 2.2:* Gezgin robotun bař açısı hedefe doęru bakıyor ve önu açık. *Adım 1*'e ge.

Bug-0 algoritmasına yönelik gezgin robotun davranıřı Őekil 1'de örneklenmiřtir. Őekil 1 içerisindeki kırmızı yol gezgin robotun engelin sınırlarını takip ettięi yolu göstermektedir. Siyah renkli yol ise Bug-0 algoritmasının yerel bir çevrimde sonsuz döngüye girdięi yolu göstermektedir. Yerel çevrim, iç bükey bir nesnenin içerisinde gezgin robotu bir döngüye sokacak bir yapı olarak düşünülebilir. Őekil 1.(b)'de görüldüğü üzere Bug-0 algoritması, Pledge Algoritmasında [7] olduęu gibi yerel bir çevrimden dolayı kolayca sonsuz bir döngüye girebilmektedir.



**Őekil 1.** İki farklı 2B ortam için Bug-0 algoritmasının üreteceęi güzergâhlar: (a) Birinci ortam (2 bilinmeyen engel, yerel çevrimsiz); (b) İkinci ortam (tek engel, yerel çevrimli).

## 2.2. Bug-1 Algoritması

Bug-1 algoritması, Bug-0'a göre daha gelişmiş bir algoritmadır ve 3 adet kayıtçıya sahip bir planlayıcıdır. Bu kayıtçılar,  $R_1$ ,  $R_2$  ve  $R_3$  olarak anılmaktadır. Gezgin robot'un anlık konumu 2B Kartezyen Koordinat Sistemi'nde ifade edilmektedir ve  $Q_{MR} = (x_{MR}, y_{MR})$  olarak gösterilmektedir. Gezgin robot hedefe ilerlerken engel ile karřılařması durumunda, karřılařılan nokta, çarpıřma noktası  $H_j := (x_{H_j}, y_{H_j})$  ve bu engeli terk edeceęi nokta, ayrılıř noktası  $L_j := (x_{L_j}, y_{L_j})$  olarak anılmaktadır.  $L_0$  noktası gezgin robotun bařlangı noktasıdır  $S_{MR} = (x_S, y_S)$ .  $R_1$  kayıtçısı,  $Q_{MR}$  ile  $G_{MR}$  arasındaki en küçük mesafeyi verecek  $Q_{MR}$  noktasının koordinatlarını tutmaktadır.  $R_2$  kayıtçısı,  $H_j$  noktasından itibaren gezgin robotun engelin sınır uzunluęu boyunca kat ettięi yolu tutmaktadır.  $R_3$  kayıtçısı,  $Q_{MR}$  noktasından ( $R_1$  kayıtçısı içerisinde tutulan  $Q_{MR}$  noktası alınabilir) itibaren gezgin robotun engelin sınır uzunluęu boyunca kat ettięi mesafeyi tutmaktadır. Bug-1 algoritmasında [1, 4]:

*Adım 1:* Ařağıdaki kořullar saęlanmadıkça,  $L_{j-1}$  noktasından (bařlangıta  $S_{MR}$  ve  $j = 1$ )  $G_{MR}$  noktası boyunca düz bir güzergâh boyunca direkt olarak  $G_{MR}$ 'ye doęru ilerle.

*Adım 1.1:*  $G_{MR}$ 'ye ulařıldı. Prosedürü durdur.

*Adım 1.2:* Engel ile karřılařıldı. Bir çarpıřma noktası  $H_j$  belirle. *Adım 2*'ye ge.

*Adım 2:* Aşağıdaki koşullar sağlanmadıkça, kabul edilen yönde (saat yönünde/yönünün tersine (varsayılan)) engelin sınırlarını takip et (duvar takibi davranışı).

*Adım 2.1:*  $G_{MR}$ 'ye ulaşıldı. Prosedürü durdur.

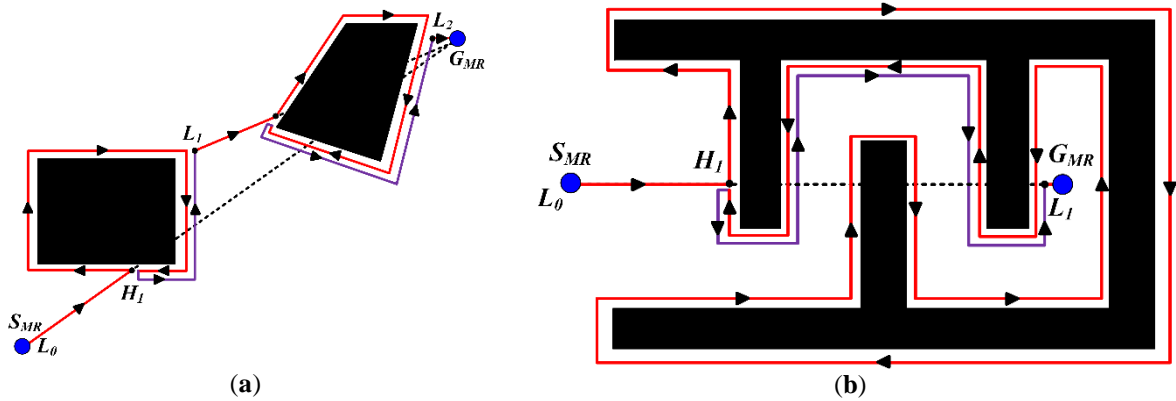
*Adım 2.2:*  $R_1$ ,  $R_2$  ve  $R_3$  kayıtlarını çalıştır. Engelin tüm sınırlarını dolaşıp tekrardan  $H_j$  noktasına gelindiğinde  $R_1$  içerisinde tutulan  $Q_{MR}$  noktasını, yeni ayrılış noktası  $L_j$  olarak ata. *Adım 3*'e geç.

*Adım 3:*  $R_2$  ve  $R_3$  içerisinde tutulan mesafe bilgilerini karşılaştır.

*Adım 3.1:*  $H_j$  noktasından  $L_j$  noktasına en kısa mesafede gidebilmek için engeli takip edeceği yönü (saat yönünde/yönünün tersine) belirle.

*Adım 3.2:*  $L_j$  noktasına ulaşıldı.  $j$  indeksini  $j = j + 1$  olarak artır. Engelden ayrıl. *Adım 1*'e geç.

Bug-1 algoritması sonucu oluşacak güzergâhın uzunluğu en fazla  $d(S_{MR}, G_{MR}) + \frac{3}{2} \sum_{i=1}^N p_i$  kadar ve en az  $d(S_{MR}, G_{MR})$  kadar olabilmektedir. Burada;  $d(S_{MR}, G_{MR}) = \sqrt{(x_S - x_G)^2 + (y_S - y_G)^2}$ ,  $S_{MR}$  noktasından  $G_{MR}$  noktasına olan Öklid uzaklığını göstermektedir ve  $p_i$  ifadesi toplamda karşılaşılan  $N$  adet engelden  $i$ 'inci engelin çevre uzunluğunu belirtmektedir. Ortamda herhangi bir engel bulunmuyorsa, üretilen güzergâh, en kısa yol olan Öklid uzaklığı (Kuş bakışı uzaklık) olacaktır. Bug-1 algoritması, hedef ulaşılabilir olduğu sürece 2B ortamda herhangi bir noktadan başlatılabilmektedir. Bug-1 algoritmasına yönelik gezgin robotun davranışı Şekil 2'de örneklenmiştir. Şekil 2 içerisindeki kırmızı yol gezgin robotun engelin sınırlarını ilk kez takip etmeye başladığı yolu göstermektedir. Mor renkli yol ise ayrılma noktasına kadar olan geri dönüş yolunu göstermektedir.



**Şekil 2.** İki farklı 2B ortam için Bug-1 algoritmasının üreteceği güzergâhlar: (a) Birinci ortam (2 bilinmeyen engel, yerel çevrimsiz); (b) İkinci ortam (tek engel, yerel çevrimli).

### 2.3. Bug-2 Algoritması

Bug-2 algoritması, Bug-1'e nazaran daha sabırsız bir algoritmadır. Bug-2 algoritmasında en başta  $S_{MR}$ 'den  $G_{MR}$ 'ye doğru Öklid uzaklığı boyunca bir güzergâh belirlenir ve gezgin robot  $G_{MR}$ 'ye varıncaya kadar her fırsatta bu güzergâhı izlemektedir. Bu güzergâh  $M$ -çizgisi olarak anılmaktadır.  $M$ -çizgisi'nin eğimi  $(x_G - x_S)/(y_G - y_S)$ 'ye eşittir. Gezgin robot  $M$ -çizgisi üzerinde olup olmadığını anlık  $Q_{MR}$  noktası ile  $G_{MR}$  noktası arasındaki eğime bakarak anlayabilmektedir. Gezgin robotun  $G_{MR}$  ile olan anlık eğimi  $(x_G - x_{MR})/(y_G - y_{MR})$  ile bulunabilmektedir. Bug-2 algoritmasında [1, 4]:

*Adım 1:* Aşağıdaki koşullar sağlanmadıkça,  $L_{j-1}$  noktasından (başlangıçta  $S_{MR}$  ve  $j = 1$ )  $M$ -çizgisinin belirttiği güzergâh boyunca direkt olarak  $G_{MR}$ 'ye doğru ilerle.

*Adım 1.1:*  $G_{MR}$ 'ye ulaşıldı. Prosedürü durdur.

*Adım 1.2:* Engel ile karşılaşıldı. Bir çarpışma noktası  $H_j$  belirle. *Adım 2*'ye geç.

*Adım 2:* Aşağıdaki koşullar sağlanmadıkça, kabul edilen yönde (saat yönünde/yönünün tersine (varsayılan)) engelin sınırlarını takip et (duvar takibi davranışı).

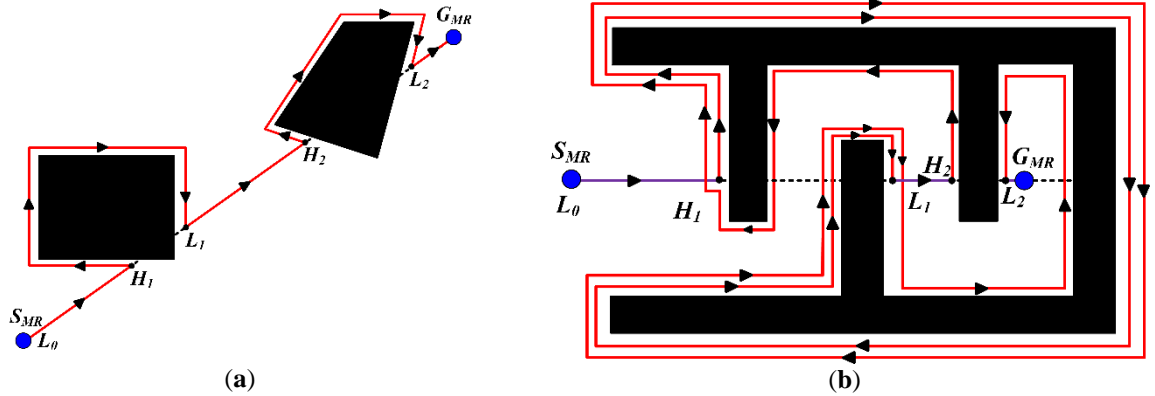
*Adım 2.1:*  $G_{MR}$ 'ye ulaşıldı. Prosedürü durdur.

*Adım 2.2:* Gezgin robot  $M$ -çizgisi üzerinde ise  $d(Q_{MR}, G_{MR})$  Öklid uzaklığını hesapla.

*Adım 2.3:*  $d(Q_{MR}, G_{MR})$  Öklid uzaklığı,  $d(H_j, G_{MR})$  Öklid uzaklığından küçük ise *Adım 3'e* geç. Değilse engelin sınırlarını takip etmeye devam et.

*Adım 3:* Gezgin robotun  $M$ -çizgisi üzerindeki  $Q_{MR}$  noktasını, yeni ayrılış noktası  $L_j$  olarak ata.  $j$  indeksini  $j = j + 1$  olarak artır. Engelden ayrıl. *Adım 1'e* geç.

Bug-2 algoritması sonucu oluşacak güzergâhın uzunluğu en fazla  $d(S_{MR}, G_{MR}) + \frac{1}{2} \sum_{i=1}^N (n_i \cdot p_i)$  kadar ve en az  $d(S_{MR}, G_{MR})$  kadar olabilmektedir. Burada,  $N$  adet engelden  $i$ 'inci engel  $M$ -çizgisi tarafından  $n_i$  sayıda kesişebilmektedir.  $n_i$  sayıda kesişimin her biri  $i$ 'inci engelden bir ayrılış noktasıdır. Bug-2 algoritması, hedef ulaşılabilir olduğu sürece 2B ortamda herhangi bir noktadan başlatılabilir. Bug-2 algoritmasına yönelik gezgin robotun davranışı Şekil 3'te örneklenmiştir. Şekil 3 içerisindeki kırmızı yol gezgin robotun çarpışma noktasından bir sonraki noktaya ilerlediği güzergâhı göstermektedir. Mor renkli yol ise gezgin robotun ayrılış noktasından bir sonraki noktaya ilerlediği yolu göstermektedir.



**Şekil 3.** İki farklı 2B ortam için Bug-2 algoritmasının üreteceği güzergâhlar: (a) Birinci ortam (2 bilinmeyen engel, yerel çevrimsiz); (b) İkinci ortam (tek engel, yerel çevrimli).

### 3. PETRİ AĞLARI

Bir Petri Ağı, daire ile gösterilen yerler, çubuk ile gösterilen geçişler ve yerlerden geçişlere veya geçişlerden yerlere doğru yönlendirilmiş oklardan oluşur. Yer, bir işlemi veya bir kaynağın durumunu; geçiş ise, bir olayın ya da bir işlemin, başlangıcını ve/veya bitişini göstermektedir Bir Petri Ağının yapısında yerler ve geçişlere ek olarak bulunduğu yerlerde işlemin yapılıyor olduğunu ifade eden “•” şeklinde gösterilen belirtiler vardır. Bir yerde belirtinin olup olmamasına veya sayısına göre ilgili yerlerin gösterdiği kaynak veya işlem hakkında bilgi sahibi olunur. Burada kaynak, sistemde gerçekleştirilmek istenen olaylar için gerekli olan koşulları, kullanılan girdileri makineleri veya personeli ifade etmektedir. Belirtiler mantıksal durumu ifade etmek için de kullanılır. Bir yerde belirtinin bulunması, şartın sağlandığı bulunmaması ise, şartın sağlanmadığı anlamına da gelir [6-8].

Bir Petri Ağı  $G(P, T, N, O, M_0)$  şeklinde gösterilir. Burada  $P := \{p_1, p_2, \dots, p_m\}$  yerlerin kümesini şeklinde ve  $T := \{t_1, t_2, \dots, t_n\}$  geçişlerin kümesini,  $N: P \times T \rightarrow \mathbb{N}$  yerlerden geçişlere doğru olan bağlantıların ağırlıklarını gösteren girdi matrisini,  $O: P \times T \rightarrow \mathbb{N}$  geçişlerden yerlere doğru olan bağlantıların ağırlıklarını gösteren çıktı matrisini ifade etmektedir ( $\mathbb{N}$  doğal sayılar kümesidir.). Bir Petri Ağının belirttiği sistemin durumu  $M: P \rightarrow \mathbb{N}$  işaretleme vektörü ile ifade edilirken,  $M_0$  başlangıç anındaki işaretleme vektörü ile gösterilmektedir [6-8].

Petri Ağında, bir  $t \in T$  geçişine bağlı tüm girdi yerleri  $\bullet t = \{p \in P | N(p, t) \neq 0\}$  ile ifade edilir. Bir geçiş için  $M(p) \geq N(p, t) \geq 1, \forall p \in \bullet t$  koşulunun sağlanması durumunda, bu  $t$  geçişi ateşlenebilmektedir. Burada,  $M(p)$  ile belirtilen  $M$  işaretleme vektöründeki  $p$ 'inci yerin belirti sayısını vermektedir.  $M$  işaretleme vektörü için aktif olan geçişler kümesi  $E$  ile gösterilmektedir. Aktif olan bir  $t \in E$  geçişi ateşlendiğinde bir sonraki işaretleme vektörü  $M'$ , Eşitlik (1)'de belirtildiği şekilde hesaplanmaktadır.  $M_0$  işaretleme vektöründen itibaren elde edilen tüm yeni ve farklı vektörler  $R(M_0)$  ulaşılabilirlik seti içerisinde tutulur. Set içerisindeki durumların birbirleri arasında oluşturdukları ilişkiler ulaşılabilirlik ağacı olarak gösterilir [6-8].

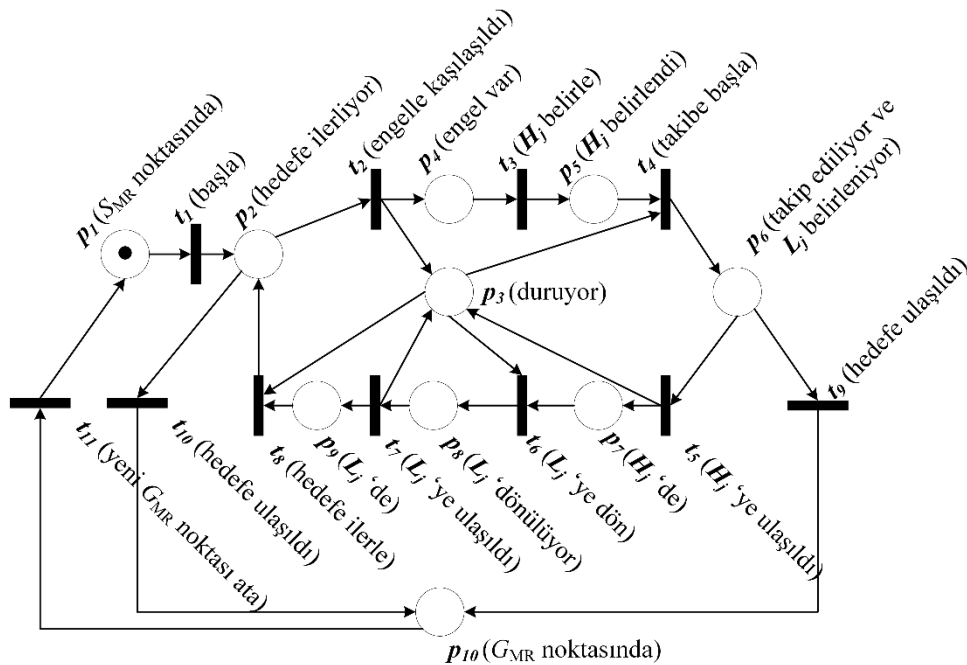
$$M'(p) = M(p) + O(p, t) - N(p, t), \forall p \in P \quad (1)$$

#### 4. BUG-1 VE BUG-2 ALGORİTMALARI İÇİN OLUŞTURULAN PETRİ AĞI MODELLERİ

Bu başlık altında Bug-1 ve Bug-2 algoritmalarının Petri Ağı modellenmesine yönelik çalışmalar sunulacaktır. [8]'de Bug-1 algoritmasına yönelik bir Petri Ağı modeli daha önceden sunulmuştur. Bu çalışma içerisinde sunulacak Bug-1 algoritmasına yönelik Petri Ağı modeli [8]'de sunulan modele nazaran daha üst seviyede bir modeldir. [8] içerisinde sensörlerin engelleri algılayıp algılamadığı ve sensör denetimi gibi alt seviye hususlar bulunmaktadır. Alt seviyeye yönelik arayüz ve kontrollerin üst seviyede yer almaması modelin anlaşılabilirliğini artırmıştır. Bug-1'e ilaveten Bug-2 algoritmasının da Petri Ağı modellenmesi verilecektir.

##### 4.1. BUG-1 Algoritması için Petri Ağı Modeli

Bölüm 2.2. içerisinde verilen Bug-1 algoritmasına yönelik hazırlanan Petri Ağı modeli Şekil 4'te verilmiştir.



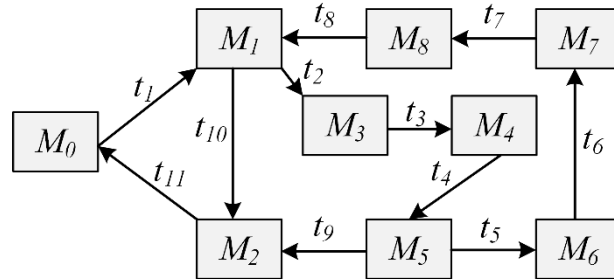
Şekil 4. Bug-1 algoritmasına yönelik hazırlanan Petri Ağı modeli

Bu model içerisinde tanımlanan Petri Ağında yerlerin kümesi  $P := \{p_1, p_2, p_3, p_4, p_5, p_6, p_7, p_8, p_9, p_{10}\}$  ve geçişlerin kümesi  $T := \{t_1, t_2, t_3, t_4, t_5, t_6, t_7, t_8, t_9, t_{10}, t_{11}\}$ 'dur. Burada yerlerin fiziksel anlamları şu şekilde tanımlanmaktadır.  $p_1$  yeri, gezgin robotun  $S_{MR}$  noktasında olduğunu gösterir.  $p_2$  yeri, gezgin

robotun  $G_{MR}$ 'ye doğru hareket halinde olduğunu gösterir.  $p_3$  yeri, gezgin robotun hareketsiz olduğunu gösterir.  $p_4$  yeri, bir engel ile karşılařıldığını gösterir.  $p_5$  yeri,  $H_j$  noktasının belirlendiğini ifade eder.  $p_6$  yeri, engelin sınırlarının takip edildiğini ve takip sırasında  $L_j$  noktasının belirlenmeye devam edildiğini gösterir.  $p_7$  yeri,  $H_j$  noktasına geri döndüğünü gösterir.  $p_8$  yeri, daha önceden izlenen en kısa güzergâhtan  $L_j$  noktasına geri döndüğünü göstermektedir.  $p_9$  yeri,  $L_j$  noktasına varıldığını gösterir.  $p_{10}$  yeri,  $G_{MR}$  noktasına varıldığını gösterir.  $T$  kümesi içerisindeki geçişlerin kümesi de řu şekilde tanımlanmaktadır.  $t_1$  geçiři, Bug algoritmasını başlatmak için kullanılan olaydır.  $t_2$  geçiři, gezgin robotun bilinmeyen bir engel ile karşılařıldığını belirten olaydır.  $t_3$  geçiři,  $H_j$  noktasının belirlendiği olaydır.  $t_4$  geçiři, gezgin robotun engelin çevresini takip etmeye başladığı olaydır.  $t_5$  geçiři,  $H_j$  noktasına varıldığı olaydır.  $t_6$  geçiři, gezgin robotun  $L_j$  noktasına geri dönmeye başladığını gösteren olaydır.  $t_7$  geçiři,  $L_j$  noktasına varıldığı olaydır.  $t_8$  geçiři, gezgin robotun  $L_j$  noktasından  $G_{MR}$ 'ye doğru ayrıldığını gösteren olaydır.  $t_9$  ve  $t_{10}$  geçişleri,  $G_{MR}$  noktasına varıldığı olaylardır.  $t_{11}$  geçiři, gezgin robota yeni hedef noktası  $G_{MR}$ 'nin atamasını yapan olaydır. Geçişlerde sözü edilen konuma yönelik olaylar gezgin robotun gerçek zamanlı konumlama sistemi ile tetiklenmektedir. Ayrıca engel algılamaya yönelik olaylar sonar algılayıcılar tarafından tetiklenmektedir. Gezgini robot başlangıçta  $S_{MR}$  noktasındadır. Bu durum  $M_0 = [1\ 0\ 0\ 0\ 0\ 0\ 0\ 0\ 0\ 0]^T$  işaretleme vektörü ile ifade edilmektedir ( $[ ]^T$  ifade transpozeyi ifade etmektedir.). Bug-1 için oluşturulan Petri Ağınnın ulaşılabilirlik kümesi 9 adet durum içermektedir. Ulaşılabilirlik kümesi  $R = \{M_0, M_1, \dots, M_8\}$  içerisindeki durumların karşılıkları ve fiziksel anlamları Tablo 1'de verilmiştir. Durumlar arası ilişkiyi gösteren ulaşılabilirlik ağacı da Şekil 5'te gösterilmiştir.

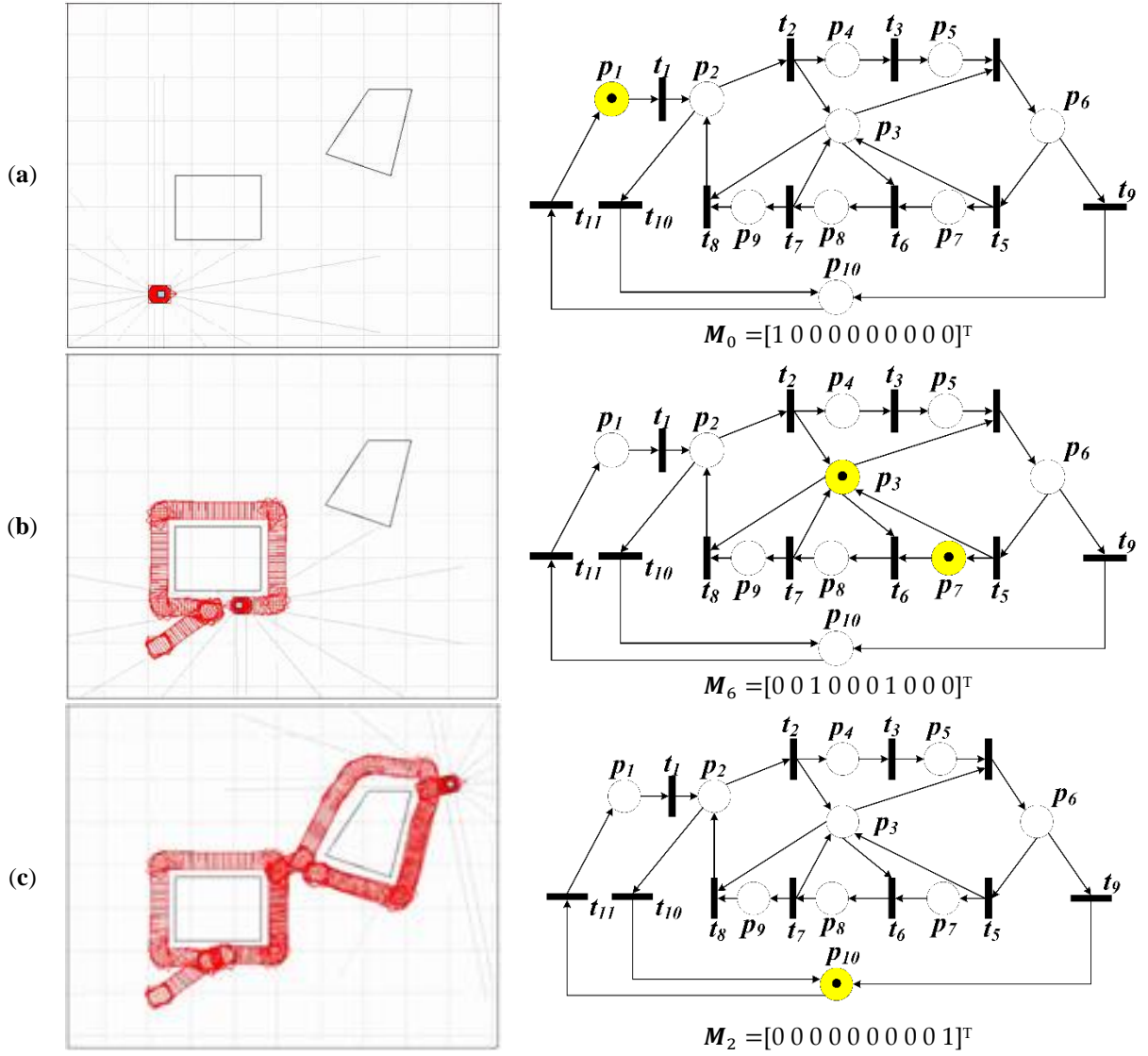
**Tablo 1.** Bug-1 algoritması Petri Ağı modeli için gezgin robotun tüm durumları

Durum Etiketi	İşaretleme Vektörü	Fiziksel Anlamı
$M_0$	$[1\ 0\ 0\ 0\ 0\ 0\ 0\ 0\ 0]^T$	Gezgin robot $S_{MR}$ üzerinde (Adım 1)
$M_1$	$[0\ 1\ 0\ 0\ 0\ 0\ 0\ 0\ 0]^T$	Gezgin robot $G_{MR}$ 'ye ilerliyor (Adım 1)
$M_2$	$[0\ 0\ 0\ 0\ 0\ 0\ 0\ 0\ 1]^T$	Gezgin robot $G_{MR}$ üzerinde (Adım 1.1 veya 2.1)
$M_3$	$[0\ 0\ 1\ 1\ 0\ 0\ 0\ 0\ 0]^T$	Gezgin robot engel algıladı ve duruyor (Adım 1.2)
$M_4$	$[0\ 0\ 1\ 0\ 1\ 0\ 0\ 0\ 0]^T$	Gezgin robot duruyor ve $H_j$ noktası atadı (Adım 1.2)
$M_5$	$[0\ 0\ 0\ 0\ 0\ 1\ 0\ 0\ 0]^T$	Gezgin robot engelin sınırlarını takip ediyor (Adım 2)
$M_6$	$[0\ 0\ 1\ 0\ 0\ 0\ 1\ 0\ 0]^T$	Gezgin robot belirlediği $H_j$ noktasına döndü ve duruyor (Adım 2.2)
$M_7$	$[0\ 0\ 0\ 0\ 0\ 0\ 1\ 0\ 0]^T$	Gezgin robot belirlediği $L_j$ noktasına gidiyor (Adım 3 ve 3.1)
$M_8$	$[0\ 0\ 1\ 0\ 0\ 0\ 0\ 1\ 0]^T$	Gezgin robot belirlediği $L_j$ noktasına döndü ve duruyor (Adım 3.2)



**Şekil 5.** Bug-1 algoritması Petri Ağı modelinin ulaşılabilirlik ağacı (durumlar arası ilişki).

Gezgin robotun Bug-1 algoritmasını icra ederken ki birkaç durumu Petri Ağı modeli üzerinde Şekil 6'da örneklenmiştir.

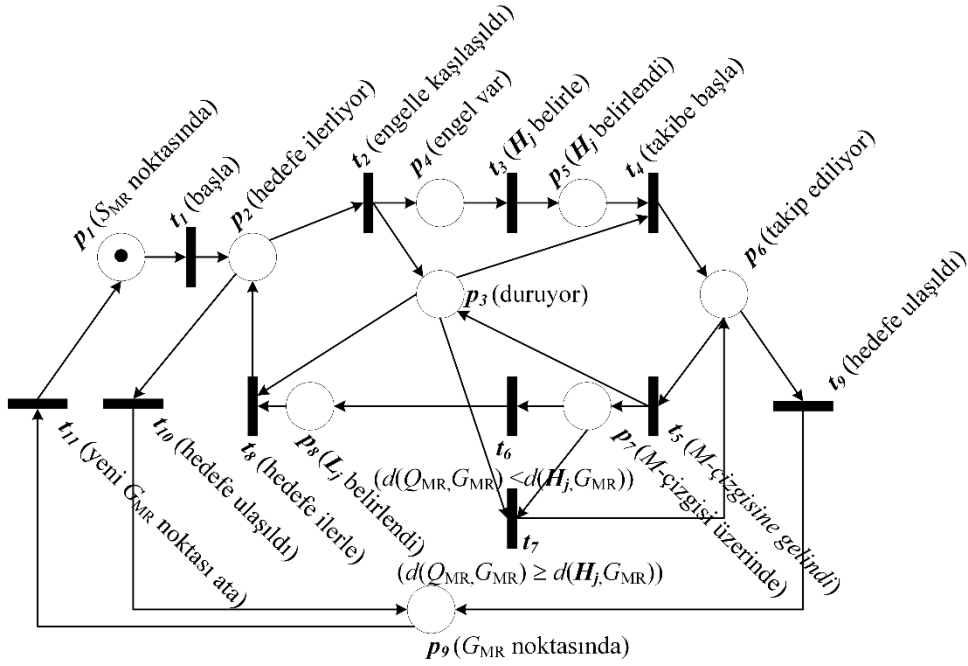


Şekil 6. Benzetim ortamında Bug-1 için gezgin robotun izlediği güzergâhlar ve Petri Ağı modelindeki karşılıkları: (a)  $S_{MR}$  noktasında; (b)  $H_j$  noktasında; (c)  $G_{MR}$  noktasında.

#### 4.2. BUG-2 Algoritması için Petri Ağı Modeli

Bölüm 2.3. içerisinde verilen Bug-2 algoritmasına yönelik hazırlanan Petri Ağı modeli Şekil 7’de verilmiştir. Bug-2 algoritmasının sabırsız olmasından kaynaklı olarak, Bug-2 Petri Ağı modeli Bug-1 Petri Ağı modeline nazaran daha az sayıda yere sahiptir.



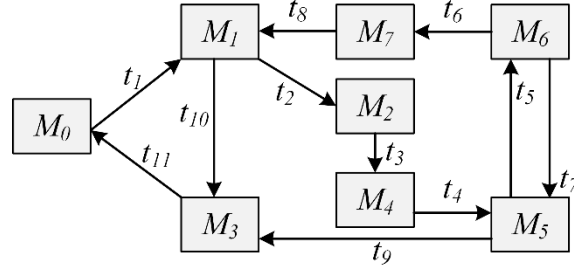


Şekil 7. Bug-2 algoritmasına yönelik hazırlanan Petri Ağı modeli

Bu model içerisinde tanımlanan Petri Ağında yerlerin kümesi  $P := \{p_1, p_2, p_3, p_4, p_5, p_6, p_7, p_8, p_9\}$  ve geçişlerin kümesi  $T := \{t_1, t_2, t_3, t_4, t_5, t_6, t_7, t_8, t_9, t_{10}, t_{11}\}$ 'dur.  $\{p_1, p_2, p_3, p_4, p_5, p_6\}$  yerlerine ve  $\{t_1, t_2, t_3, t_4, t_8, t_9, t_{10}, t_{11}\}$  geçişlerine ait fiziksel anlamlar Bug-1 içerisinde verilen model ile aynıdır. Farklılık olarak,  $p_7$  yeri, gezgin robotun  $M$ -çizgisi üzerindeki bir noktada olduğunu gösterir.  $p_8$  yeri,  $L_j$  ayrılış noktasının belirlendiğini gösterir.  $p_9$  yeri, Bug-1 içerisinde sözü edilen  $p_{10}$  yerinde olduğu gibi gezgin robotun  $G_{MR}$  noktasına vardığını gösterir.  $t_5$  geçişi,  $M$ -çizgisi üzerindeki bir noktaya geldiğinin olaydır.  $t_6$  geçişi, bir karar olayı olup  $d(Q_{MR}, G_{MR})$  ve  $d(H_j, G_{MR})$  Öklid uzaklıkları arasındaki  $d(Q_{MR}, G_{MR}) < d(H_j, G_{MR})$  ilişkisine bakar.  $t_7$  geçişi, bir karar olayı olup  $d(Q_{MR}, G_{MR})$  ve  $d(H_j, G_{MR})$  Öklid uzaklıkları arasındaki  $d(Q_{MR}, G_{MR}) \geq d(H_j, G_{MR})$  ilişkisine bakar. Bug-1 modelinde bahsedildiği gibi geçişlerde sözü edilen konuma yönelik olaylar gezgin robotun gerçek zamanlı konumlama sistemi ile tetiklenmektedir. Ayrıca engel algılamaya yönelik olaylar sonar algılayıcılar tarafından tetiklenmektedir. Gezgin robot başlangıçta  $S_{MR}$  noktasındadır. Bu durum  $M_0 = [1 \ 0 \ 0 \ 0 \ 0 \ 0 \ 0 \ 0 \ 0]^T$  işaretleme vektörü ile ifade edilmektedir. Bug-2 için oluşturulan Petri Ağının ulaşılabilirlik kümesi 8 adet durum içermektedir. Ulaşılabilirlik kümesi  $R = \{M_0, M_1, \dots, M_7\}$  içerisindeki durumların karşılıkları ve fiziksel anlamları Tablo 2'de verilmiştir. Durumlar arası ilişkiyi gösteren ulaşılabilirlik ağacı da Şekil 8'de gösterilmiştir.

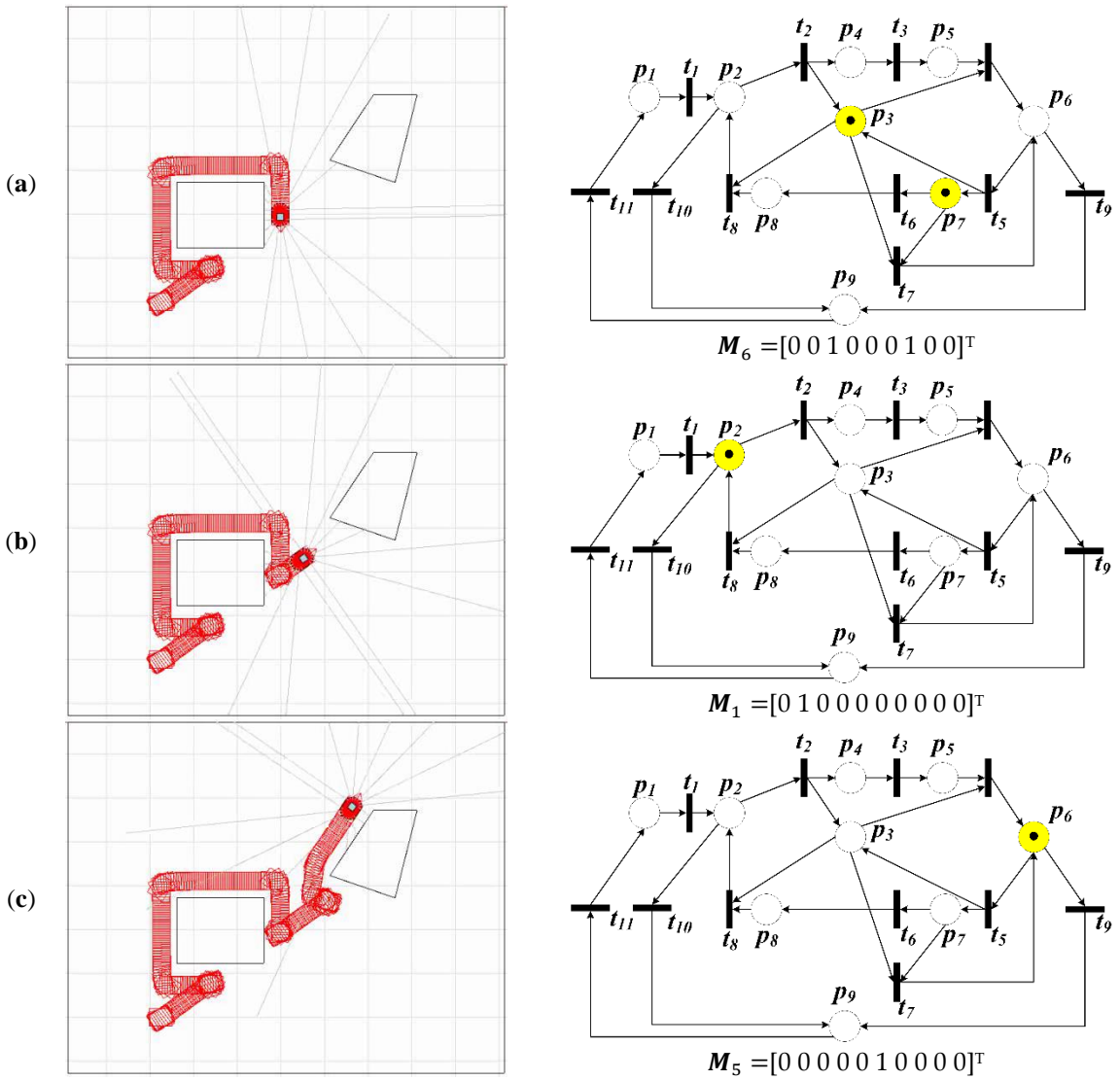
Tablo 2. Bug-2 algoritması Petri Ağı modeli için gezgin robotun tüm durumları

Durum Etiketi	İşaretleme Vektörü	Fiziksel Anlamı
$M_0$	$[1 \ 0 \ 0 \ 0 \ 0 \ 0 \ 0 \ 0 \ 0]^T$	Gezgin robot $S_{MR}$ üzerinde (Adım 1)
$M_1$	$[0 \ 1 \ 0 \ 0 \ 0 \ 0 \ 0 \ 0 \ 0]^T$	Gezgin robot $G_{MR}$ 'ye ilerliyor (Adım 1)
$M_2$	$[0 \ 0 \ 1 \ 1 \ 0 \ 0 \ 0 \ 0 \ 0]^T$	Gezgin robot engel algıladı ve duruyor (Adım 1.2)
$M_3$	$[0 \ 0 \ 0 \ 0 \ 0 \ 0 \ 0 \ 0 \ 1]^T$	Gezgin robot $G_{MR}$ üzerinde (Adım 1.1 veya 2.1)
$M_4$	$[0 \ 0 \ 1 \ 0 \ 1 \ 0 \ 0 \ 0 \ 0]^T$	Gezgin robot duruyor ve $H_j$ noktası atadı (Adım 1.2)
$M_5$	$[0 \ 0 \ 0 \ 0 \ 0 \ 1 \ 0 \ 0 \ 0]^T$	Gezgin robot engelin sınırlarını takip ediyor (Adım 2)
$M_6$	$[0 \ 0 \ 1 \ 0 \ 0 \ 0 \ 1 \ 0 \ 0]^T$	Gezgin robot duruyor ve $M$ -çizgisi üzerinde (Adım 2.2 ve 2.3)
$M_7$	$[0 \ 0 \ 1 \ 0 \ 0 \ 0 \ 0 \ 1 \ 0]^T$	Gezgin robot duruyor ve $L_j$ noktası atadı (Adım 3)



Şekil 8. Bug-2 algoritması Petri Ağı modelinin ulaşılabilirlik ağacı (durumlar arası ilişki).

Gezgin robotun Bug-2 algoritmasını icra ederken ki birkaç durumu Petri Ağı modeli üzerinde Şekil 9'da örneklenmiştir.



Şekil 9. Benzetim ortamında Bug-2 için gezgin robotun izlediği güzergâhlar ve Petri Ağı modelindeki karşılıkları: (a)  $M$ -çizigisinde; (b)  $M$ -çizigisi üzerinde ilerliyor; (c) Sınır takibi.

## 5. SONUÇ

Bu çalışmada öncelikle 2B bir ortam içerisinde bilinmeyen engellerin bulunduğu, gidilecek hedefin koordinatlarının bilindiği ve bu hedefin bir başlangıç noktasından ulaşılabilir olduğu bir konfigürasyon içerisinde güzergâh planlaması yapılmasına yönelik geliştirilen Bug-0, Bug-1 ve Bug-2 algoritmaları tanıtılmıştır. Sözü edilen algoritmaların işleyişinin gözlemlenmesi uygulanacakları sistemler üzerindeki etkilerinin anlaşılması ve yorumlanması açısından önemlidir. Bu algoritmalar kesikli olay sistemlerinin modellenmesi ve analizinde sıklıkla kullanılan Petri Ağı ile modellenmiştir. Petri Ağı grafiksel ve matematiksel yönüyle algoritmaların işleyişinin izlenmesinde ve öngörülmesinde büyük kolaylık sağlamaktadır.

## KAYNAKÇA

- [1] Choset H, Lynch KM ve Hutchinson S. Principles of Robot Motion: Theory, Algorithms, and Implementations. ABD: M.I.T. Press, 2005.
- [2] Yufka A ve Parlaktuna O. Performance Comparison of the BUG Algorithms for Mobile Robots. 5. “Advanced Technologies” Uluslararası Sempozyumu; 13–15 Mayıs 2009; Karabük, Türkiye. pp. 61-65.
- [3] Yufka A ve Parlaktuna O. Performance Comparison of the BUG's Algorithms for Mobile Robots. “INnovations in Intelligent Systems and Applications” Uluslararası Sempozyumu; 29 Haziran–1 Temmuz 2009; Trabzon, Türkiye. pp. 111-146.
- [4] Lumelsky VJ ve Stepanov A. Dynamic path planning for a mobile automaton with limited information on the environment. IEEE Transaction Automatic Control 1986; 31: 1058-1063.
- [5] Sankaranarayanan A ve Vidyasagar M. A New Path Planning Algorithm for Moving a Point Object Amidst Unknown Obstacles in a Plane. “Robotics and Automation” Uluslararası Konferansı; 13–18 Mayıs 1990; Cincinnati, OH, A.B.D.: IEEE. pp. 3:1930–1936.
- [6] Cassandras CG ve Lafortune S. Introduction to Discrete Event Systems, Second Edition. US, ABD: Springer, 2008.
- [7] Zhou M ve DiCesare F. Petri net Synthesis for Discrete Event Control of Manufacturing Systems. Norwell, MA, A.B.D.: Kluwer Academic, 1993.
- [8] Yufka A ve Aybar A. BUG Algorithm Analysis using Petri net. 8’inci “Electrical and Electronics Engineering” Uluslararası Konferansı; 28–30 Kasım 2013; Bursa, Türkiye. IEEE. pp. 507-511.
- [9] Abelson H ve Disessa A. Turtle Geometry. Cambridge, MA, A.B.D.: M.I.T. Press, 1980.